УДК 621.385.833.2+539.216.2

ПРИМЕНЕНИЕ СКАНИРУЮЩЕЙ ЗОНДОВОЙ МИКРОСКОПИИ ДЛЯ ИССЛЕДОВАНИЯ ВЛИЯНИЯ ТОЛЩИНЫ ПЛЕНОЧНЫХ СЛОЕВ СУЛЬФИДА ИНДИЯ НА ИХ СТРУКТУРУ

О. В. Гончарова 1 , В. Ф. Гременок 2 , С. А. Чижик 3

Известно, что формирование буферного слоя между фотовольтаическим слоем p-типа и низкоомным окном n-типа оказывает существенное влияние на эффективность солнечных элементов (СЭ). Оптимально подобранные толщина h и структура буферного слоя должны способствовать эффективной инжекции носителей (между лицевым электродом и поглощающим слоем) и максимальному пропусканию света. Материалом буферного слоя обычно служат пленочные слои с проводимостью n-типа, изготовленные на основе широкозонных полупроводниковых соединений.

В разработанных к настоящему времени СЭ на основе твердых растворов состава $CuIn_xGa_{x-1}Se_2$ все более широко используются бескадмиевые буферные слои сульфида индия (In_xS_y) , изготавливаемые относительно простыми методами физического осаждения на стеклянные подложки. Структурно-фазовые, электрические и оптические свойства слоев, получаемых вновь разработанным методом термического испарения мишеней In_2S_3 , изучались в работе [1]. Тем не менее, до сих пор не достигнуто однозначного соотнесения толщины, микроструктурных и оптических характеристик буферных In_xS_v -слоев, что затрудняет их применение.

Настоящая работа является продолжением исследований [2], в которых был предложен оригинальный критерий прогнозирования спектральных свойств пленочных слоев сульфида индия на основе детального изучения структурнофазовых и оптических свойств экспериментальных образцов заданной толщины, полученных в одинаковых технологических условиях. Цель настоящей работы – исследование возможности экспериментального изучения морфологии разнотолщиных образцов In_xS_y , имеющих существенно различное положение краевого поглощения E_g , и прогнозирования структурных свойств слоев сульфида индия при заданности их толщины на основе полученных корреляций.

 In_xS_y -слои получены с помощью процесса термического осаждения в вакууме на стеклянные подложки при температурах, не приводящих к деградации характеристик светопоглощающих халькопиритных слоев СЭ. Осаждение пленок сульфида индия осуществляли на установке вакуумного напыления ВУ-2М при давлении остаточных газов в вакуумной камере не хуже $5\cdot10^{-4}$ Па [1]. Подложками служили предметные стекла микроскопа размером 25×75 мм толщиной 2.5 и



¹ Институт молекулярной и атомной физики НАН Беларуси,

пр-т Независимости 68, г. Минск, Беларусь. E-mail: Olga.Goncharova@imaph.bas-net.by

² Объединенный институт физики твердого тела и полупроводников НАН Беларуси, ул. П. Бровки 17, г. Минск, Беларусь

³ Институт тепло- и массообмена им. А. В. Лыкова НАН Беларуси, ул. П. Бровки 15, г. Минск, Беларусь

1.5 мм, а в случае изготовления пленок толщиной менее 90 нм — полированные пластины плавленого кварца марки КУ размером 25×25 мм, толщиной 1.5 мм. Перед напылением подложки обрабатывали в хромовом травителе в течении 10—12 ч. Затем их отмывали в деионизованной воде не менее 15 мин, сушили на центрифуге с ИК-нагревом. Подложки загружали на подложкодержатель, оснащенный нагревателем, способным обеспечивать контролируемый разогрев подложек до 600 °C. Точность поддержания заданной температуры составляла ±5 °C. Для контроля и поддержания заданных температур испарителя и подложкодержателя использовали соответствующие блоки установки ВУ-2М. Испарителем служила диборидтитановая лодочка, закрепленная на водоохлаждаеммых токовводах. Расстояние между испарителем и подложкой 20 см.

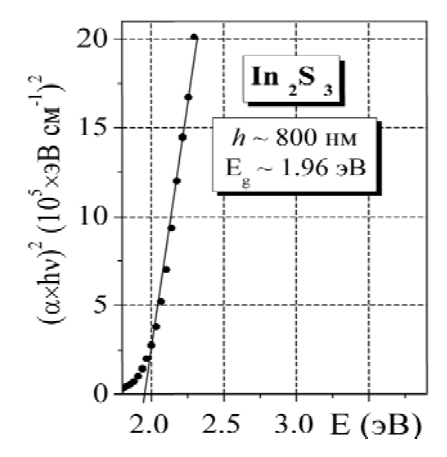
Процесс осаждения пленок сульфида индия проводили следующим образом [1]. Вначале камеру откачивали до давления остаточных газов не хуже $8\cdot10^{-4}$ Па. Затем включали нагрев подложек. Нагрев осуществляли 10-25 мин, в зависимости от требуемой температуры подложек, которую варьировали в диапазоне от 220 до 240 °C. По достижении заданной температуры включали испаритель и устанавливали значение тока нагрева 150 А. Пространство между испарителем и подложкой было перекрыто заслонкой. Разогрев испарителя и навески сульфида индия производился в течении 10 мин. В течение этого времени вакуум в камере улучшался до $5\cdot10^{-4}$ Па. Испаритель и навески сульфида индия разогревались до 725 °C, после чего открывалась заслонка и производилось осаждение In_xS_y -пленки. Скорость осаждения составляла ~ 5 Å/c. Время напыления варьировалось от 1 до 10 мин, в зависимости от требуемой толщины пленки.

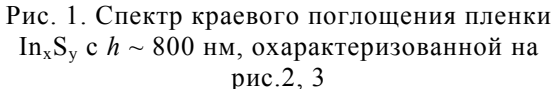
Спектры пропускания Т (%) разнотолщинных In_xS_y -образцов измеряли в диапазоне длин волн 190–3000 нм на спектрофотометре Cary-500 Scan (Varian, США). Морфологию поверхности отдельно взятых In_xS_y -образцов изучали с помощью атомно-силового микроскопа NT-206 (Microtestmachines Co.). Просканировано несколько участков поверхности каждого образца.

Для исследования морфологии выбраны образцы сульфида индия различной заданной величины h и E_g , полученные в идентичных условиях осаждения и использованные нами ранее для прогнозирования их структурных свойств. Исследуемые образцы рентгеновски аморфны независимо от их толщины, варьируемой в пределах от 30 до 800 нм, что может указывать как на аморфный состав, так и на малый размер d, отсутствие преимущественного роста и организации пленкообразующих элементов. Анализ состава показал, что основными элементами пленочных образцов являются индий (In) и сера (S). Хотя в слоях образцов, прилегающих к подложке, отношение S/In приблизительно равно 1 (недостаток серы), вместе с тем, характерное для соединения In_2S_3 отношение S/In = 1.5 обнаружено у поверхности образцов. Это могло произойти из-за присутствия в образцах более одной фазы. (Некоторое количество индия, как ожидается, может присутствовать в форме In_2O_3 и/или $In(OH)_x$.) Положение края поглощения E_g экспериментальных образцов изменялось от 1.96 до 3.4 эВ (рис. 1, 4, 7) [2].

Результаты исследования морфологических свойств In_xS_y -образцов заданной толщины и значений E_g , полученные с использованием атомно-силовой микроскопии и приведенные на рис. 1–9, позволили впервые установить наличие корреляций между размером d, концентрацией гранул и положением краевого поглощения пленкообразующего материала.







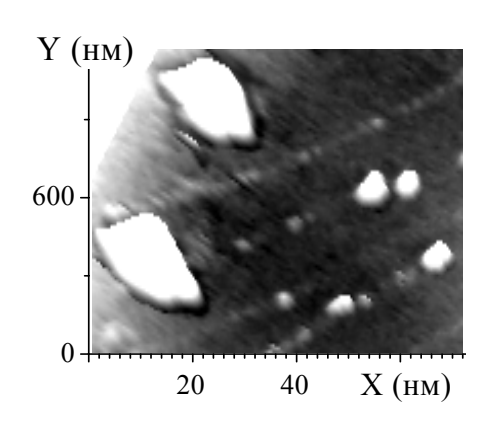


Рис. 2. Топография поверхности участка пленки $\text{In}_x S_y$ размером 1.2×0.08 мкм

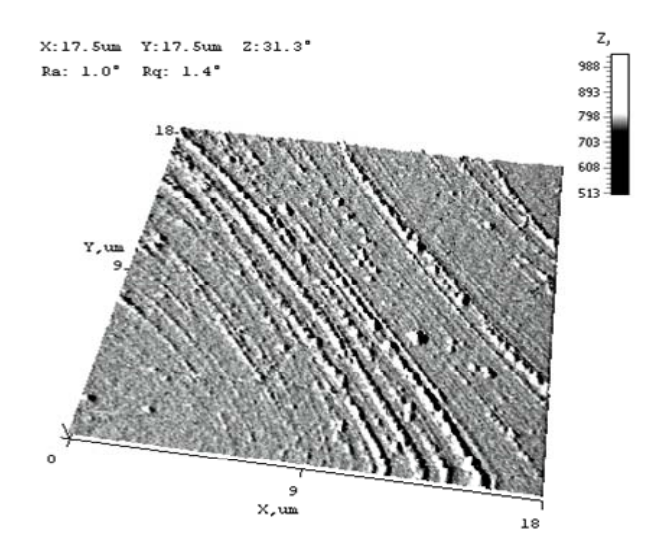
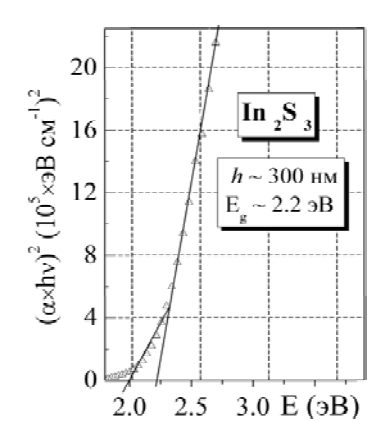


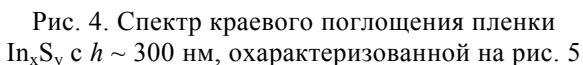
Рис. 3. Объемное изображение топографии поверхности участка 17.5×17.5 мкм

На изображениях топографии поверхности (рис. 2, 3, 5, 6, 8, 9) видно, что для пленок с толщиной h > 400–450 нм характерна высокая концентрация гранул большего размера, $d_1 > 300$ нм (рис. 2, 3). Положение края поглощения пленок такой толщины, зависящее в основном от фазового состава больших гранул (по причине их большей концентрации), составляет примерно 2.0 эВ (рис. 1) и соответствует результатам, полученным для монокристаллов In_2S_3 .

Уменьшение толщины пленки от h=400-350 нм до значений 120–90 нм приводит к постепенному возрастанию E_g до 2.2 эВ ($h\sim300$ нм) (рис. 4) и 2.35 эВ (170 нм). Одновременно с этим уменьшается концентрация больших гранул и увеличивается концентрация гранул среднего размера, $d_2\sim30-60$ нм (рис. 5, 6). Отметим, что гранулы большего и среднего размера формируются в окружении частиц малого размера, $d_3=1-10$ нм.







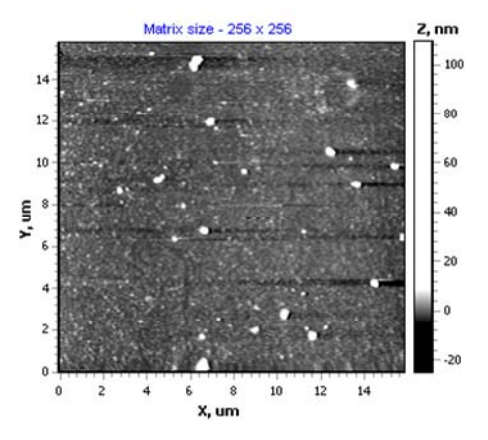


Рис. 5. Топография поверхности участка пленки ${\rm In}_x {\rm S}_y$ размером $16{\times}16$ мкм

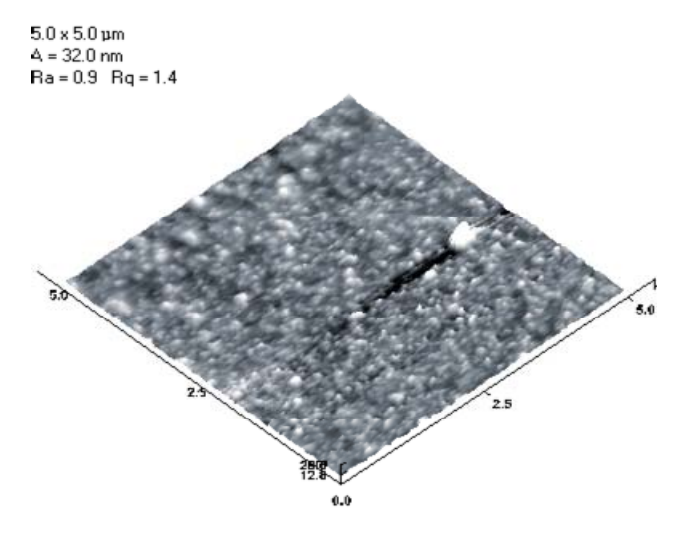


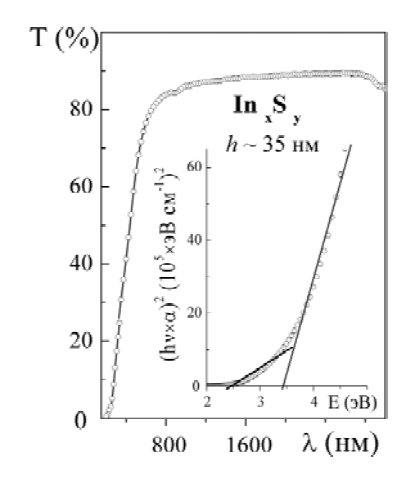
Рис. 6. Объемное изображение топографии поверхности участка 5×5 мкм

Обнаружено также, что образцы с толщиной $h \leq 90$ нм, обладающие существенным коротковолновым сдвигом края поглощения (рис.7) и охарактеризованные на рис. 8, 9, состоят главным образом из частиц малого размера d_3 . Полученные в данном случае значения $E_g \sim 3.4$ эВ можно объяснить квантово-размерным эффектом, эффектами окисления и аморфизации, имеющие место в частицах столь малых размеров. Частицы могут иметь фазовый состав, отличный от сульфида индия [2].

Полученный комплекс результатов указывает на зависимость структуры разработанных пленок сульфида индия от их геометрической толщины. Тонкие покрытия, по-видимому, состоят преимущественно из наночастиц In_2O_3 ($E_g\sim 3.4-3.5\ {\rm yB}$), что может быть обусловлено малыми временами и низкими температурами осаждения, а также недостатком серы в приповерхностных областях мишеней сульфида индия. Увеличение времени испарения и толщины результирующих пленок сопровождается формированием композиционных слоев, состоящих в том числе из наногранул сульфида индия стехиометричного In_2S_3 состава. Сущест-



венное увеличение времени напыления и нагрева формируемых слоев сопровождается агрегацией наногранул высокого оптического качества размером d_2 в более крупные наногранулы размером d_1 , характеризующиеся большей конценрацией объемных дефектов. Таким образом, разработанные $\ln_x S_y$ -пленки с $h \leq 90$ нм могут использоваться как бескадмиевые буферные слои с высокими коэффициентами пропускания в широком спектральном диапазоне и заданной величиной электрического сопротивления, необходимыми для получения эффективных пленочных СЭ.



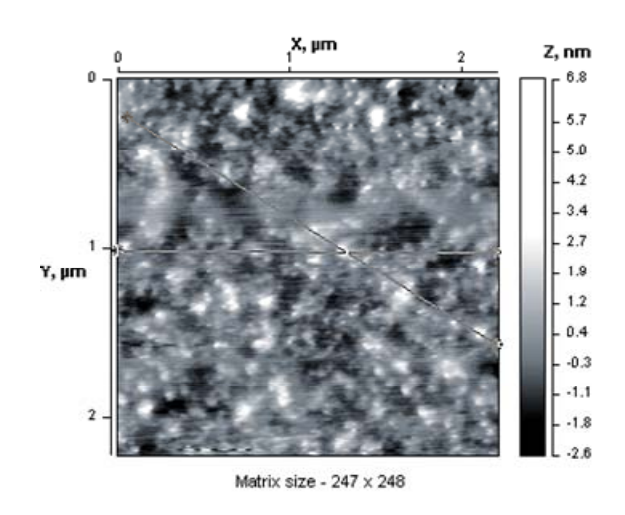


Рис. 7. Спектр краевого поглощения пленки In_xS_y с $h \sim 35$ нм, охарактеризованной на рис. 8, 9

Рис. 8. Топография поверхности участка пленки In_xS_v размером 2.2×2.2 мкм

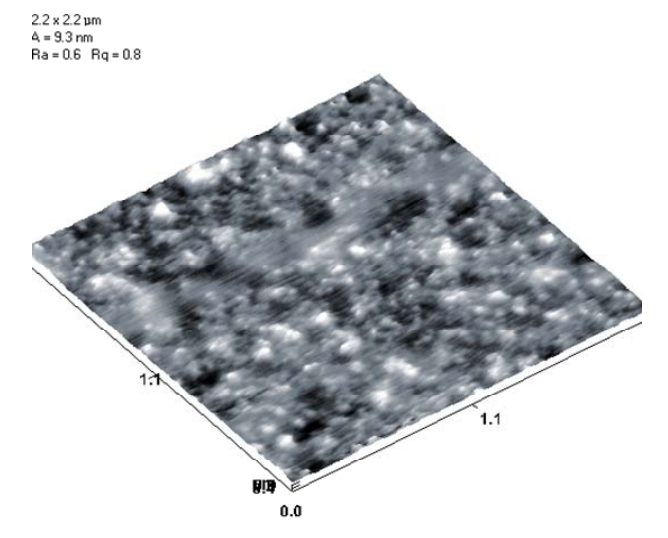


Рис. 9. Объемное изображение топографии поверхности участка 2.2×2.2 мкм

Методами абсорбционной спектроскопии и сканирующей зондовой микроскопии впервые показано, что микроструктурные и спектральные свойства пленочных слоев сульфида индия, полученных в идентичных технологических режимах термического осаждения, существенно зависят от их толщины. На основе экспериментальных данных установлены толщины и структура однородных пле-



нок воспроизводимого состава, оптимальные для изготовления бескадмиевых буферных слоев высокоэффективных тонкопленочных СЭ на основе Cu(In,Ga)Se₂.

Благодарность

Исследования выполнены при финансовой поддержке МНТЦ, проект В–1029 "Высокоэффективные тонкопленочные солнечные элементы и модули на основе четырехкомпонентных халькопиритных материалов, формируемых на гибких диэлектрических и металлических подложках".

Литература

- 1. Гончарова О. В., Гременок В. Ф., Кравченко В. М., Кравченко А. В., Ермаков О. В., Залесский В. Б. // Сборник трудов 5-й Междунар. конф. "Аморфные и микрокристаллические полупроводники", 19–21 июня 2006. Санкт-Петербург (Россия), Изд-во Политехн. Ун-та, 2006. С. 271–272.
- 2. Goncharova O., Gremenok V. // Abstracts 3rd Intern. Conf. on Materials Science and Condensed Matter Physics. Chisinau (Moldova), 3-6 October 2006. P. 242; 6-page article will be published in the special issue of the Moldavian Journal of Physical Sciences.

